

Рис. 3

ответствующая «вкладу» G -изображения в оценку W - поля, равна $\sigma_G^2 = \|\hat{U}_{RG} - \hat{U}_R\|^2 = 44$, в то время как вклад B -изображения оценивается величиной $\sigma_B^2 = \|\hat{U}_{RGB} - \hat{U}_{RG}\|^2 = 25$, что при норме остатка данного приближения $\sigma_{\Delta U_3}^2 = \|U_W - \hat{U}_{RGB}\|^2 = 27$ свидетельствует о незначимости $\sigma_B^2 / \sigma_{\Delta U_3}^2 < 1$. На рис. 3 дано поле разностей между W -полем и его R -, G -оценкой. Можно заметить, что белая полоса не вкладывается в восстанавливаемый образ W -изображения по R -, G -, B -копиям сцены.

ЛИТЕРАТУРА

- Пытьев Ю. П. Морфологические понятия в задачах анализа изображений.— Докл. АН СССР, 1975, т. 224, № 6.
- Пытьев Ю. П. Задачи морфологического анализа изображений.— В кн.: Математические методы исследования природных ресурсов Земли из космоса. М.: Наука, 1984.
- Шеффе Г. Дисперсионный анализ.— М.: Наука, 1980.
- Киричук В. С., Косых В. П., Нестерихин Ю. Е., Яковенко Н. С. Методы и средства оперативной цифровой обработки изображений.— Автометрия, 1984, № 4.

Поступила в редакцию 13 февраля 1986 г.

УДК 519.713 : 007.5 : 681.5

В. С. КИРИЧУК, Г. И. ПЕРЕТИЯГИН
(Новосибирск)

ОБ УСТАНОВЛЕНИИ СХОДСТВА ФРАГМЕНТОВ С ЭТАЛОННОМ

Введение. В практике обработки изображений хорошо известна задача «поиска по образцу». Формально ее можно рассматривать как процесс отождествления эталонного изображения (образа) с одним из множества предъявленных (независимых) фрагментов. В данной статье поставленная проблема характеризуется с точки зрения симметричных байесовских решающих правил и находится оптимальный в известном

смысле критерий, инвариантный относительно допустимых преобразований амплитуды двумерного сигнала.

В первом разделе работы рассмотрены два варианта представления изображений и установлен вид наблюдаемых характеристик идентифицируемых фрагментов. Во втором разделе задача «поиска по образцу» поставлена как проверка множественной линейной гипотезы и выведен наиболее мощный инвариантный критерий идентификации сходства. Вид статистик найденного критерия для двух вариантов структуры двумерного сигнала конкретизирован в третьем разделе. Последний раздел посвящен обсуждению результатов экспериментального сравнения характеристик эффективности полученных статистик критерия идентификации.

Представление изображений. Преобразуем изображение эталонного фрагмента — матрицу отсчетов $[U_0]$ размерностью $n \times n = N$ — в N -мерный вектор U_0 «разверткой» по столбцам. Идентифицируемые фрагменты также преобразуем в N -мерные векторы U_q , $q = 1, L$. Рассмотрим два варианта представления изображений фрагментов. В первом случае будем считать, что к элементам векторов U_q при измерении добавляется шум и наблюдаемые векторы имеют вид

$$V_q = U_q + \xi_q, \quad (1)$$

где ξ_q — гауссовский случайный вектор помехи с нулевым средним и общей дисперсией, компонент σ_q^2 , $q = 0, 1, \dots, L$. Здесь ограничимся практически наименее важным случаем линейной функции преобразования, связывающей амплитуду сигнала эталонного фрагмента U_0 с амплитудой его «копии» U_p (влияние типа преобразования обсуждается в [1]):

$$U_0 = a + bU_p. \quad (2)$$

Значение индекса p неизвестно, поэтому задача установления сходства фрагментов сводится к проверке всех претендентов U_q , $q = 1, L$, с учетом соотношения (2). Так как наблюдения сопровождаются помехой, то параметры линейных функциональных соотношений a_q , b_q идентифицируемы лишь тогда, когда известны отношения $\mu_q = \sigma_0^2 / \sigma_q^2$ [2]. Фрагменты V_q чаще всего выбираются из одного снимка, поэтому можно считать, что $b_q = b$ и $\mu_q = \mu$. Предполагая также известными оценки b и σ_0^2 , рассмотрим нормированные векторы разностей:

$$X_q = \frac{(V_q - \bar{v}_q \mathbf{1}_N) - b(V_0 - \bar{v}_0 \mathbf{1}_N)}{\sigma_0 (1 + b^2/\mu)^{1/2}} = \frac{\dot{V}_q + b\dot{V}_0}{\sigma_0 (1 + b^2/\mu)^{1/2}} \quad (3)$$

($\mathbf{1}_N$ — вектор, состоящий из N единиц). Каждый из них распределен по нормальному закону с вектором средних θ_q и единичной дисперсией компонент. Коэффициент корреляции ρ между сходными элементами векторов X_q и X_p равен $(1 + b^2/\mu)^{-1}$.

Рассмотрим теперь второй вариант, при котором изображения анализируемых фрагментов $[\dot{V}_q]$ будем представлять гауссовскими случайными полями (с периодическими граничными условиями [3]). Элементы собственных векторов P_j , $j = nk + l$, $k, l = 0, 1, \dots, n-1$, корреляционной матрицы Σ данного случайного поля состоят из тригонометрических функций — комплексных экспонент $\{e^{i(2\pi/n)(pk+ql)}\}$, где p и q — целые числа ($0 \leq p \leq n-1$, $0 \leq q \leq n-1$). Собственные значения λ_j равны элементам спектральной плотности гауссовского поля. Если Λ — диагональная матрица, составленная из λ_j и $P = (P_1, P_2, \dots, P_N)$, то $\Sigma = P\Lambda P^*$ и $C = \Sigma^{-1} = P^*\Lambda^{-1}P$. В этом случае каждый вектор X_q , соответствующий разности декоррелированных векторов \dot{V}_0 и \dot{V}_q : $X_q = C_q^{1/2} \dot{V}_q - C_0^{1/2} \dot{V}_0$, будет распределен поциальному закону с вектором средних θ_q . Коэффициент корреляции ρ между сходными элементами векторов X_q и X_k равен здесь $1/2$.

Критерий идентификации. Будем считать, что заранее нельзя отдать предпочтение ни одному из L возможных фрагментов, и при поиске оп-

тимальной процедуры ограничимся симметричными решающими правилами. Для этого сведем задачу к проверке многих гипотез $H_1, H_2, \dots, H_L, H_{L+1}$, где H_q — гипотеза, предполагающая изображение q -го фрагмента идентичным эталонному (т. е. $\theta_q = 0$), $q = \overline{1, L}$, а H_{L+1} — гипотеза, фиксирующая общую альтернативную возможность того, что не будет обнаружено фрагмента, подобного эталонному. При «нулевой» гипотезе

H_q совместное распределение компонент общего вектора $X = (X_1^T, \dots, X_L^T)^T$ имеет нормальную плотность с вектором средних:

$$\begin{aligned}\Theta_q &= (\theta_1^T, \dots, \theta_{q-1}^T, 0, \theta_{q+1}^T, \dots, \theta_L^T)^T = \\ &= (I_N - E_q)(\theta_1^T, \dots, \theta_L^T) = (I_N - E_q)\Theta,\end{aligned}$$

где E_q — матрица, полученная из I_N «занулением» тех ее диагональных элементов, которые соответствуют по порядку элементам вектора параметров θ_q в общем векторе Θ :

$$\begin{aligned}h_q(X/\Theta_q) &= (2\pi)^{-\frac{NL}{2}} |K|^{-1/2} \exp \left[-\frac{1}{2}(X - (I_N - E_q)\Theta)^T K^{-1} (X - (I_N - E_q)\Theta) \right] = \\ &= (2\pi)^{-\frac{NL}{2}} |K|^{-\frac{1}{2}} \exp \left[-\frac{1}{2}(X - \Theta)^T K^{-1} (X - \Theta) - X^T K^{-1} E_q \Theta - \frac{1}{2} \Theta^T \times \right. \\ &\quad \left. \times (E_q K^{-1} (E_q - 2I_N)) \Theta \right] = h_{L+1}(X/\Theta) \exp \left[-X^T K^{-1} E_q \Theta - \right. \\ &\quad \left. - \frac{1}{2} \Theta^T (E_q K^{-1} (E_q - 2I_N)) \Theta \right] = h_{L+1}(X/\Theta) g_q(X/\Theta_q).\end{aligned}\quad (4)$$

Здесь K — ковариационная матрица, имеющая вид кронекеровского произведения $L \times L$ -матрицы R и I_N : $K = R \otimes I_N$, $K^{-1} = R^{-1} \otimes I_N$, где R — матрица, диагональные элементы которой равны 1, а остальные — 0. Видно, что матрица K блоchно-диагональная, на главной диагонали блоки равны I_N , а вне главной диагонали — $0I_N$. При общей альтернативной гипотезе H_{L+1} функция плотности распределения имеет вид

$$h_{L+1}(X/\Theta) = (2\pi)^{-\frac{NL}{2}} |K|^{-\frac{1}{2}} \exp \left[-\frac{1}{2}(X - \Theta)^T K^{-1} (X - \Theta) \right]. \quad (5)$$

Задача состоит в нахождении оптимальной процедуры для выбора одной из $(L + 1)$ -гипотез. Процедура должна быть симметричной в том смысле, что вероятность принятия правильного решения, когда $[U_q]$ — образ эталонного фрагмента, одинакова для всех $q = \overline{1, L}$. Общую байесовскую формулировку симметричных решающих правил, максимизирующих вероятность правильной классификации, дали Карлин и Труакс [4, 5]. Применяя соответствующее обобщение фундаментальной леммы Неймана — Пирсона, нетрудно установить, что оптимальная процедура (минимизирующая байесовский риск) выбирает гипотезу H_q , $q = \overline{1, L}$, если $W_q = \max_{j=\overline{1, L}} g_j(X/\Theta_j) > C_\alpha$; иначе принимается H_{L+1} . Константа C_α зависит от принятого размера критерия идентификации и распределения статистики W_q .

Для вектора параметров $\Theta = (\Delta_1 1_N^T, \Delta_2 1_N^T, \dots, \Delta_L 1_N^T)^T$ каждая из плотностей $g_j(X/\Theta_j)$ будет монотонной функцией статистики $T_j(X) = X^T E_j K^{-1} E_j 1_N^T$. В этом случае непосредственно находим [5], что оптимальный критерий (равномерно наиболее мощный в классе симметричных (РНМС)), инвариантный относительно смены знака параметров Δ_j , выбирает гипотезу H_q , если

$$|T_q(X)| = \min_{j=\overline{1, L}} |T_j(X)| < C_\alpha, \quad q = \overline{1, L}.$$

В практических ситуациях маловероятно, чтобы компоненты векторов параметров Θ_q были равны одной и той же константе Δ_q . К тому же

иногда желательно выполнение условия $P(H_{L+1}/H_{L+1}) = \beta(\Theta)$, дополненного естественным требованием несмещенности: функция мощности $\beta(\Theta)$ должна быть больше размера критерия α при H_{L+1} . Понятно, что при произвольных значениях элементов вектора Θ не существует РНМС-критерия. Для решения поставленной задачи будем использовать подход, позволяющий найти оптимальный критерий при более слабых ограничениях на элементы вектора параметров Θ .

Так как речь идет о средних значениях наблюдаемого вектора X , поставленная задача — специальный случай проверки общих линейных гипотез [6]. Действительно, можно себе представить, что вектор Θ , образованный из средних значений X , при H_{L+1} лежит в данном NL -мерном пространстве Ω , а проверяемые гипотезы H_q , $q = \overline{1, L}$, состоят в том, что Θ лежит в данном $N(L-1)$ -мерном подпространстве ω_q , входящем в Ω . В последнем случае утверждается, что все компоненты вектора $E_q\Theta$ равны нулю. Для сведения проблемы к канонической форме используем следующее разложение матрицы, обратной к корреляционной: $K^{-1} = QQ^T$, где Q — верхнетреугольная матрица. Из соотношения (4) непосредственно находим, что достаточными статистиками для элементов вектора $Q^T E_q \Theta$ будут элементы вектора $Q^T E_q X$.

В результате декоррелирующего преобразования проверяемые гипотезы H_q сводятся к установлению равенства $Q^T E_q \Theta = 0$, $q = \overline{1, L}$. По соображениям достаточности и инвариантности [6] проверку этих равенств можно осуществить с помощью статистик

$$T_q(X) = X^T E_q Q Q^T E_q X = X^T E_q K^{-1} E_q X.$$

Распределение $T_q(X)$ зависит только от $\Psi^2 = \|\theta_q\|_{K-1}^2 = \Theta^T E_q K^{-1} E_q \Theta$ и является нецентральным χ^2 -распределением с N степенями свободы и параметром нецентральности $\Psi^2 = \|\theta_q\|_{K-1}^2$. Мы уже знаем, что нужно выбрать гипотезу H_q , если ей соответствует максимум по j отношения $f_0(T_j)/f_\Psi(T_j)$ и если этот максимум не меньше некоторой предварительно заданной константы. С другой стороны, для нецентрального χ^2 -распределения $f_\Psi(T_j)$ отношение $f_0(T_j)/f_\Psi(T_j)$ — убывающая функция T_j (для любого $\Psi > 0$), так что монотонность отношения правдоподобия сводит решение проблемы к проверке статистики $T_q^* = \min_{j=\overline{1, L}} T_j(X)$.

В результате наиболее мощный инвариантный (в классе симметричных) критерий для проверки $\min_{j=\overline{1, L}} \|\theta_j\|_{K-1}^2 = \Psi_0 = 0$ при альтернативе $\min_{j=\overline{1, L}} \|\theta_j\|_{K-1}^2 = \Psi_1 > 0$ отклоняет гипотезу, если $T_q^*(X) = \min_{j=\overline{1, L}} T_j(X)$ слишком велико, то есть если $T_q^*(X) > C_\alpha$. Данный критерий оптимальный (РНМС-инвариантный) также и для проверки $\min_j \|\theta_j\|_{K-1}^2 \leq \Psi_0 (\Psi_0 > 0)$, максимизирующий минимальную мощность на альтернативах $\min_j \|\theta_j\|_{K-1}^2 \geq \Psi_1 (\Psi_1 > \Psi_0)$. Иначе говоря, он является минимаксным критерием и имеет вид

принять H_q , если $T_q^*(X) = \min_j T_j(X) = \min \frac{X^T E_j K^{-1} E_j X}{N} \leq C_\alpha$;

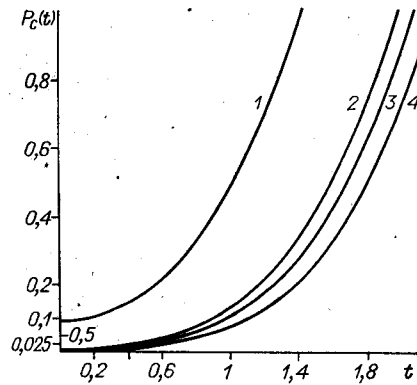
принять H_{L+1} , если $T_q^*(X) > C_\alpha$;

параметр C_α выбирается из условия $P_c(\Psi_0) = \alpha$; гарантированная мощность $\beta = P_{C_\alpha}(\Psi_1)$. Функция $P_c(t)$ есть свертка распределения $P(t, c^2) = \Phi(t - c) + 1 - \Phi(t + c)$ с распределением центрального χ^2 с $(N-1)$ степенями свободы [7]:

$$P_{N,C}(t) = \int_0^\infty P(t, c^2 - u) \chi_{N-1}^2(u) du.$$

Рис. 1. Поведение функции мощности при $\alpha = 0,02$:

1 — $C = 2,15; N = 256$; 2 — $C = 2,15; N = 900$; 3 — $C = 2,25; N = 400$; 4 — $C = 2,35; N = 256$



На рис. 1 представлено поведение функции мощности $\beta_t = P_{N,c}(t)$ при различных значениях C и N . Видно, что для того чтобы результирующая статистическая процедура имела заданную точность или чувствительность (т. е. гарантированные вероятности обнаружения действительного сходства и отбраковки «чужих» фрагментов), необходимо подобрать достаточную для этого площадь идентифицируемых фрагментов (либо установить соответствующую «зону безразличия» в пространстве параметров). В частности, если положить параметры $(\Psi_0; \alpha; C_0)$ равными соответственно 0; 0,02; 2,15, то гарантированная мощность $\beta = 0,99$ достигается при $N = 900$ и $\Psi_1 = 1,96$; если же $N = 400$, то $C = 2,25$ и достижение той же самой гарантированной мощности возможно лишь при $\Psi_1 = 2,06$.

Статистика критерия. Вероятность принятия правильного решения зависит от устойчивости функционала $T^*(X)$ к случайным вариациям при селекции образа эталонного фрагмента; с другой стороны, вероятность отбраковки «чужих» фрагментов определяется чувствительностью $T^*(X)$ к мере рассогласования их с эталонным фрагментом. Для выяснения поведения функционала $T^*(X)$ необходимо предварительно конкретизировать вид критерия в рассмотренных представлениях изображений.

Матрица $K^{-1} = R^{-1} \otimes I_N$ блочно-диагональная, причем

$$(R^{-1})_{ii} = a_N = \frac{1 + (N - 2)\rho}{(1 + (N - 1)\rho)(1 - \rho)}, \quad (R^{-1})_{ij} = f_N = -\frac{\rho}{(1 + (N - 1)\rho)(1 - \rho)}.$$

Структура матрицы $E_q K^{-1} E_q$ отсюда совершенно ясна, и можно непосредственно показать, что функционал $T_q^*(X)$ имеет вид

$$T_q^*(X) = \frac{a_N}{N} X_q^T X_q.$$

Рассмотрим первый вариант представления. Здесь

$$\begin{aligned} \frac{1}{N} X_q^T X_q &= \frac{1}{N} \left(\sum_{i=1}^N \overset{\circ}{v}_{0i}^2 + b^2 \sum_{i=1}^N \overset{\circ}{v}_{qi}^2 - 2b \sum_{i=1}^N \overset{\circ}{v}_{0i} \overset{\circ}{v}_{qi} \right) / (\sigma_0^2 (1 + b^2/\mu)) = \\ &= \frac{\frac{1}{N} \left(\sum_{i=1}^N \overset{\circ}{v}_{0i}^2 + b^2 \sum_{i=1}^N \overset{\circ}{v}_{qi}^2 \right)}{\sigma_0^2 (1 + b^2/\mu)} \left(1 - 2b \frac{\sum_{i=1}^N \overset{\circ}{v}_{0i} \overset{\circ}{v}_{qi}}{\sum_{i=1}^N \overset{\circ}{v}_{0i}^2 + b^2 \sum_{i=1}^N \overset{\circ}{v}_{qi}^2} \right) = d_q (1 - r_{0q}); \end{aligned}$$

d_q — отношение мощности «сигнала» к мощности шума; r_{0q} — коэффициент корреляции фрагментов $\overset{\circ}{V}_0$ и $\overset{\circ}{V}_q$. Статистика критерия $T_q^*(X) = a_N d_q (1 - r_{0q})$ асимптотически (при $N \rightarrow \infty$) аппроксимируется значением $(d_q/(1 - \rho))(1 - r_{0q})$, зависящим от параметров $(\sigma_0^2, b, \mu, \rho)$ и

«наблюдаемых» величин (d_q, r_{0q}) . Назовем T_q^* d -корреляционным функционалом.

Перейдем теперь ко второму виду представлений двумерных сигналов, обозначая через $S(\dot{V}_q)$ (комплексный) фурье-образ \dot{V}_q , $q = 0, 1, \dots, L$. Составляющие функционала $T_q^*(X)$ равны

$$\begin{aligned} \frac{1}{N} \{ X_q^* X_q \} &= \frac{1}{N} \left\{ \left(C_0^{1/2} \dot{V}_0 - C_q^{1/2} \dot{V}_q \right)^* \left(C_0^{1/2} \dot{V}_0 - C_q^{1/2} \dot{V}_q \right) \right\} = \\ &= \frac{1}{N} \left\{ \sum_{k=0}^{N-1} \sum_{l=0}^{N-1} \left[\frac{S_{kl}^* (\dot{V}_0) S_{kl} (\dot{V}_0)}{\lambda_{kl} (\dot{V}_0)} + \frac{S_{kl}^* (\dot{V}_q) S_{kl} (\dot{V}_q)}{\lambda_{kl} (\dot{V}_q)} - \right. \right. \\ &\quad \left. \left. - \frac{S_{kl}^* (\dot{V}_q) S_{kl} (\dot{V}_0)}{(\lambda_{kl} (\dot{V}_q) \lambda_{kl} (\dot{V}_0))^{1/2}} - \frac{S_{kl}^* (\dot{V}_0) S_{kl} (\dot{V}_q)}{(\lambda_{kl} (\dot{V}_0) \lambda_{kl} (\dot{V}_q))^{1/2}} \right] \right\}. \end{aligned}$$

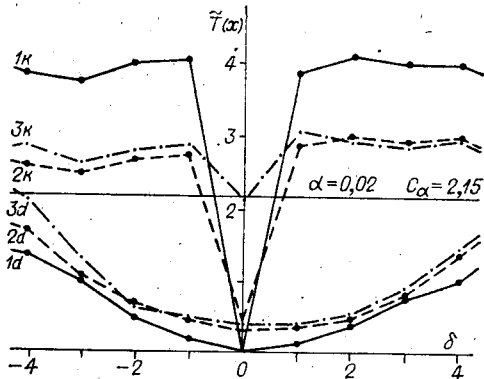
Для больших выборок переменные $|S_{kl}|^2 = S_{kl}^* S_{kl}$ асимптотически независимы и каждая имеет χ^2 -распределение с двумя степенями свободы. Известно также, что $|S_{kl}|^2$ — несмещенная оценка λ_{kl} (более того, $|S_{kl}|^2$ можно сделать и состоятельной оценкой λ_{kl} путем выбора соответствующего «спектрального окна»). Будем считать, что $|\widehat{S}_{kl}|^2$ сходится к λ_{kl} и критерий $T_q^*(X)$ преобразуется к виду, ориентированному на пространственную структуру конкретного эталонного фрагмента \dot{V}_0 (считая $\rho = 1/2$):

$$\begin{aligned} T_q^*(X) &= \frac{4N}{N+1} \left(1 - \frac{1}{N} \sum_{k=0}^{N-1} \sum_{l=0}^{N-1} \frac{S_{kl}^* (\dot{V}_0) S_{kl} (\dot{V}_q)}{|\widehat{S}_{kl} (\dot{V}_0)| |\widehat{S}_{kl} (\dot{V}_q)|} \right) = \\ &= 4 \left(1 - \frac{1}{N} \sum_{k,l} \gamma_{kl} (\dot{V}_0, \dot{V}_q) \right). \end{aligned}$$

Назовем $T_q^*(X)$ когерентным функционалом, так как его поведение определяется функцией когерентности $\gamma_{kl}^2 (\dot{V}_0, \dot{V})$ двумерных сигналов \dot{V}_0 и \dot{V}_q . Известно [8], что $\gamma_{kl}^2 (\dot{V}_0, \dot{V}_q)$ дает ту долю мощности «выходного» сигнала \dot{V}_0 , появление которой обусловлено линейной зависимостью от входа \dot{V}_q . Для линейных преобразований (без шума) функция когерентности достигает своего теоретического максимума, равного единице на всех частотах. Функционал $T_q^*(X)$ здесь равен нулю. Если же он не равен нулю, то возможными причинами этого могут быть как отсутствие линейной зависимости между \dot{V}_0 и \dot{V}_q , так и наличие шумовой составляющей $S_{kl}(\xi)$ в $S_{kl}(\dot{V})$. В частности, в последнем случае когерентный функционал приобретает добавку, зависящую от отношения мощностей спектральных составляющих сигнала и шума.

Имитационное моделирование. Для экспериментального исследования влияния посторонних факторов на статистики критерия была осуществлена программная реализация процедуры идентификации. В ней предусмотрена возможность в диалоговом режиме задавать координаты эталонного фрагмента на изображении A и вычислять значения исследуемых функционалов в выделяемой зоне «скользящего» поиска этого же изображения. Каждый последующий фрагмент в данном варианте сдвигнут на один шаг дискретного растра по отношению к предыдущему, если считать, что эталонный фрагмент имеет «нулевой сдвиг». Тем самым степень «отличия» изображения текущего фрагмента от эталонного определяется величиной его сдвига относительно положения эталона.

Рис. 2. Значения статистик d -корреляционного критерия ($1d - 3d$); поведение когерентного функционала ($1k - 3k$):
 1 — $\sigma_\xi = 0$; 2 — $d_q = 4$; 3 — $d_q = 4$
 с предварительным нелинейным преобразованием



Такая модель позволяет экспериментально исследовать влияние мощности шума и нелинейных преобразований на поведение функционалов сходства в точке экстремума и его окрестности (в программе предусмотрена возможность трансформирования значений плотностей с добавлением гауссовского стационарного шума). Влияние шумовой составляющей на исследуемые статистики критерия идентификации представлено на рис. 2. Видно, что обе статистики обладают определенной устойчивостью к действию шума, хотя d -корреляционный функционал менее чувствителен к сдвигу текущего фрагмента относительно эталонного по сравнению с когерентным функционалом. Поведение последнего легко объяснить благодаря свойству ортогональности составляющих преобразования Фурье в каждой узкой полосе частот. При сдвиге фрагментов друг относительно друга фурье-компоненты их изображений почти статистически независимы и функция когерентности близка к нулю. Однако совместные действия помехи и нелинейного преобразования приводят к тому, что величина когерентного функционала в точке экстремума резко возрастает, в результате чего убывает вероятность распознавания образа эталонного фрагмента. С другой стороны, действие отмеченных факторов приводит к локальному смещению экстремума d -корреляционного функционала, и уменьшается вероятность правильной селекции. (Здесь в качестве нелинейного было выбрано часто применяемое преобразование эквализации с последующим квантованием предварительно «зашумленного» изображения фрагмента.) В целом d -корреляционный функционал более устойчив к разного рода преобразованиям, хотя ширина его экстремума (а следовательно, и точность локализации образа эталонного фрагмента) пропорциональна радиусу автокорреляции элементов поля изображения.

ЛИТЕРАТУРА

- Киричук В. С. Метод максимального правдоподобия в задаче определения координат фрагмента.— Автометрия, 1983, № 6.
- Кендалл М., Стьюарт А. Статистические выводы и связи.— М.: Наука, 1973.
- Перетягин Г. И. Представление изображений гауссовыми случайными полями.— Автометрия, 1984, № 6.
- Karlin S., Truax D. R. Slippage problems.— Annal. of Math. Stat., 1960, v. 17, p. 296.
- Перетягин Г. И. Отбор выделяющихся наблюдений и критерий сдвига.— Автометрия, 1977, № 3.
- Леман Е. Проверка статистических гипотез.— М.: Наука, 1964.
- Боровков А. А. Математическая статистика.— М.: Наука, 1984.
- Отнес Р., Эноксон Л. Прикладной анализ временных рядов.— М.: Мир, 1982.

Поступила в редакцию 11 декабря 1985 г.